



Measuring and Ranking the Physical Resilience of Urban Areas Against Earthquakes: A Case Study of the Metropolis of Tabriz

Yasre Nazaryan¹ | Ameneh Haghzad^{2✉} | Leila Ebrahimi³ | Kia Bozorgmehr⁴

1. PhD student, Department of Geography, Chalus Branch, Islamic Azad University, Chalus, Iran. Email: yasernazaryan@gmail.com
2. Corresponding author, Assistant Professor, Department of Geography, Chalus Branch, Islamic Azad University, Chalus, Iran. Email: ameneh_haghzad@yahoo.com
3. Assistant Professor, Department of Geography, Chalus Branch, Islamic Azad University, Chalus, Iran. Email: Geo.ebrahimi@yahoo.com
4. Assistant Professor, Department of Geography, Chalus Branch, Islamic Azad University, Chalus, Iran. Email: Kiabozorgmehr51@yahoo.com

Article Info	ABSTRACT
Article type: Research Article	Urbanization and the increase in urban populations, resulting from both natural population growth and rural-to-urban migration, have led to the concentration of significant material and spiritual human capital within urban settlements. Concurrently, various natural and human-induced crises pose threats to these capitals. Urban management has initiated a range of programs to address these crises, with a contemporary focus on enhancing the resilience of cities. The concept of resilience can be examined across various dimensions, including physical, economic, social, and environmental aspects.
Article history: Received 2020/08/18 Received in revised 2020/10/17 Accepted 2021/01/02 Published 2021/01/03 Published online 2025/05/21	The present study adopts a descriptive-analytical approach with the objective of assessing the physical resilience of metropolitan areas in Tabriz and determining their status relative to one another. To achieve this goal, multi-criteria decision-making methods (MADM) and the Analytic Hierarchy Process (AHP) have been employed. Additionally, three models—Technique for Order Preference by Similarity to Ideal Solution (TOPSIS), VIKOR, and Complex Proportional Assessment (COPRAS)—have been utilized to rank the regions in terms of physical resilience. Ultimately, the Copeland model was applied to integrate the results from the aforementioned models. The findings indicate that regions 2, 8, and 9 collectively exhibit the highest levels of physical resilience, followed by regions 1, 10, 3, 7, 5, 4, and, lastly, region 6, respectively.
Keywords: Physical resilience COPRAS model VIKOR model TOPSIS model Tabriz metropolis.	

Cite this article: Nazaryan, Yasre., Haghzad, Ameneh., Ebrahimi, Leila., & Bozorgmehr, Kia. (2025). Measuring and Ranking the Physical Resilience of Urban Areas Against Earthquakes: A Case Study of the Metropolis of Tabriz. *Journal of Applied Researches in Geographical Sciences*, 25 (77), 174-197. DOI: <http://dx.doi.org/10.61186/jgs.25.77.4>



© The Author(s). Publisher: Kharazmi University
DOI: <http://dx.doi.org/10.61186/jgs.25.77.4>



Kharazmi University

**Journal of Applied Researches in
Geographical Sciences**

Print ISSN: 2228-7736

Online ISSN: 2588-5138

<https://jgs.knu.ac.ir/>**Extended Abstract****Introduction**

The increase in urban populations due to natural growth and rural-to-urban migration has rendered cities more susceptible to vulnerabilities than in previous eras. The significance of this issue is underscored by the fact that cities serve as hubs for humanity's most substantial material and cultural assets. According to projections by the United Nations, by 2050, approximately 80% of the global population is expected to reside in urban areas, thereby heightening the risk of natural disasters within these locales. Until the 1980s, disaster management primarily concentrated on mitigating vulnerability; however, subsequent scholarship from social scientists has highlighted the critical importance of the social dimensions of vulnerability. This emergent perspective advocates for the enhancement of community resilience in the face of crises. The adoption of the Hyogo Framework for Action by the United Nations in 2005 marked a pivotal initiative in transforming the paradigm of disaster management, with an emphasis on resilience rather than a sole focus on damage reduction. This shift necessitates strategic planning and resource allocation directed towards high-risk neighborhoods and areas. In this context, sustainable regeneration within urban neighborhoods can significantly contribute to bolstering local resilience. The city of Tabriz, one of Iran's major metropolises, is situated on the earthquake-prone Alpine-Himalayan seismic belt and has historically faced the threat of catastrophic earthquakes. Over the past 60 years, the city's population has experienced substantial growth, and its physical development has frequently occurred in proximity to active fault lines. This scenario underscores the urgent need for comprehensive urban planning aimed at reducing vulnerability and enhancing resilience. Effective urban management, particularly in terms of land-use planning and the equitable distribution of services and infrastructure, is essential for mitigating the impacts of disasters.

Material and Methods

This research is descriptive-analytical in nature and applied in purpose. For the development of the theoretical framework and data collection, documentary sources and spatial databases from urban plans were utilized. The analysis methods employed include spatial statistics (distance and area analysis) and multi-criteria decision-making techniques. To ensure the accuracy of the results, multiple methods (TOPSIS, VIKOR, COPRAS) were implemented, and their results were integrated using the Copeland method. The research process comprises the following steps: 1) studying theoretical foundations and developing resilience indicators, 2) weighting and prioritizing indicators using the Analytical Hierarchy Process (AHP), 3) evaluating areas with resilience models, and 4) integrating the results of the models and providing the final outcome using the Copeland method.

Results and Discussion



Kharazmi University

**Journal of Applied Researches in
Geographical Sciences**

Print ISSN: 2228-7736

Online ISSN: 2588-5138

<https://jgs.knu.ac.ir/>

The results of the AHP model indicate that the criterion of permeability of the fabric holds the highest weight in the resilience of urban areas. Following this, residential density, population density, percentage of green spaces, health and medical land use, distance from hazardous centers, slum areas, dilapidated areas, distance from rescue and fire centers, and educational land uses received scores in descending order. In the TOPSIS method, Region 8 ranks first. The VIKOR model assigns the top rank to Region 2, while the COPRAS model positions Region 9 at the highest level of resilience. To achieve the final ranking, the Copeland model was applied, revealing that Regions 2, 8, and 9 collectively attained the top rank in resilience. Regions 1, 10, 3, 7, 5, 4, and 6 follow in subsequent ranks.

Conclusion

The development of cities and the process of urbanization have exposed them to various complex hazards. Consequently, urban planning must account for these hazards. Risk-based planning can facilitate the identification of the safest areas for development, with "resilience" serving as a key concept that underscores the importance of enhancing a system's capacity to cope with disasters. Resilience is defined as an overarching index of the ability to withstand disasters, encompassing economic, social, and physical dimensions. Physical resilience is associated with the impact of physical factors, such as structural variables and land use planning. With the adoption of the Hyogo Framework for Action, the focus of planning has shifted towards increasing resilience and reducing vulnerability. Resilience pertains to the acceptable level of destruction, self-organization, and the learning capacity of the system. This study investigates the state of physical resilience in the urban areas of Tabriz, employing AHP and multi-criteria decision-making methods for analysis. The results of the AHP model indicate that the criterion of permeability of the fabric has the highest weight. In the TOPSIS, VIKOR, and COPRAS methods, Regions 8, 2, and 9 rank first, respectively. The results of the Copeland model further demonstrate that Regions 2, 8, and 9 jointly achieve the top rank in resilience. The literature on urban resilience emphasizes the interconnection of economic, social, and physical dimensions, indicating that improvements in only one aspect of the system are insufficient. Enhancing the physical status is achievable only through empowering residents and improving their knowledge. In developing cities such as those in Iran, the proliferation of informal settlements poses challenges that necessitate comprehensive economic, social, and physical planning to enhance resilience.

سنجدش و رتبه‌بندی تابآوری کالبدی مناطق شهری در برابر زلزله؛ مطالعه موردی کلان‌شهر تبریز

یاسن نظریان^۱، آمنه حق زاد^۲، لیلا ابراهیمی^۳، کیا بزرگمهر^۴

۱. دانشجوی دکتری، گروه جغرافیا، واحد چالوس، گروه جغرافیا، دانشگاه آزاد اسلامی، چالوس، ایران. رایانامه: yasernazaryan@gmail.com
۲. نویسنده مسئول، استادیار، گروه جغرافیا، واحد چالوس، دانشگاه آزاد اسلامی، چالوس، ایران. رایانامه: ameneh_haghzad@yahoo.com
۳. استادیار، گروه جغرافیا، واحد چالوس، دانشگاه آزاد اسلامی، چالوس، ایران. رایانامه: Geo.ebrahimi@yahoo.com
۴. استادیار، گروه جغرافیا، واحد چالوس، دانشگاه آزاد اسلامی، چالوس، ایران. رایانامه: Kiabozorgmehr51@yahoo.com

چکیده	اطلاعات مقاله
<p>شهرنشینی و افزایش جمعیت شهرها در نتیجه افزایش طبیعی جمعیت و مهاجرت‌های روزتا - شهری، موجب تمرکز متعالی‌ترین سرمایه‌های مادی و معنوی بشر در این سکونتگاه‌های شهری گردیده است. در عین حال بحران‌های مختلف طبیعی و انسانی این سرمایه‌ها را تهدید می‌کند. مدیریت شهری برنامه‌های مختلفی را برای مقابله با این بحران‌ها در پیش گرفته است که رویکرد متأخر در این خصوص افزایش تابآوری شهرهast. مفهوم تابآوری در ابعاد مختلف کالبدی، اقتصادی، اجتماعی و زیست‌محیطی قابل‌بحث و بررسی است. پژوهش حاضر با رویکرد توصیفی-تحلیلی و با هدف سنجش وضعیت تابآوری کالبدی مناطق کلان‌شهر تبریز و تعیین وضعیت آن‌ها نسبت به یکدیگر انجام شده است. برای این منظور از روش‌های تصمیم‌گیری چند شاخصه (MADM) و فرآیند تحلیل سلسه مراتبی (AHP) استفاده شده است. هم‌چنین از ۳ مدل تاپسیس، ویکور و کوپراس برای رتبه‌بندی مناطق از نظر تابآوری کالبدی بهره‌گیری شده است. در نهایت برای تلفیق نتایج مدل‌های مذکور از مدل کپلند استفاده گردید. نتایج نشان‌دهنده این است که مناطق ۹۲، ۸ به صورت مشترک بالاترین تابآوری کالبدی را دارند. در رتبه‌های بعدی به ترتیب مناطق ۱، ۱۰، ۳، ۷، ۵، ۴ و در نهایت منطقه ۶ قرار گرفته است.</p>	<p>نوع مقاله: مقاله پژوهشی</p> <p>تاریخ دریافت: ۱۳۹۹/۰۵/۲۸</p> <p>تاریخ بازنگری: ۱۳۹۹/۰۷/۲۶</p> <p>تاریخ پذیرش: ۱۳۹۹/۱۰/۱۳</p> <p>تاریخ انتشار: ۱۳۹۹/۱۰/۰۴</p> <p>تاریخ انتشار آنلاین: ۱۴۰۴/۰۴/۰۱</p> <p>کلیدواژه‌ها: تابآوری کالبدی، مدل کوپراس، مدل ویکور، مدل تاپسیس، کلان‌شهر تبریز.</p>

استناد: نظریان، یاسن، حق زاد، آمنه، ابراهیمی، لیلا، و بزرگمهر، کیا. (۱۴۰۴). سنجش و رتبه‌بندی تابآوری کالبدی مناطق شهری در برابر زلزله؛ مطالعه موردی کلان‌شهر تبریز. *تحقیقات کاربردی علوم جغرافیایی*, ۲۵ (۷۷)، ۱۹۷-۱۷۴.

<http://dx.doi.org/10.61186/jgs.25.77.4>



© نویسنده‌گان.

ناشر: دانشگاه خوارزمی تهران.

مقدمه

شهرنشینی و افزایش جمعیت شهرها در نتیجه افزایش طبیعی جمعیت و مهاجرت‌های شهری- روسایی، این سکونتگاه‌های انسانی را در معرض آسیب‌پذیری بیشتری نسبت به گذشته قرار داده است. اهمیت امر زمانی مشخص‌تر می‌شود که بدانیم شهرها محل تجمع متعالی‌ترین سرمایه‌های مادی و معنوی بشر امروز می‌باشد. " مطابق با پیش‌بینی سازمان ملل احتمال می‌رود تا سال ۲۰۵۰ حدود ۸۰ درصد جمعیت جهان در شهرها زندگی کنند(ژا و همکاران^۱، ۲۰۱۲:VII). این مسئله به این معنا است که مناطق شهری به مکان اصلی بسیاری از بلایای احتمالی بدل خواهند شد(لئون و مارچ^۲:۲۰۱۴، ۲۵۱:۲۰۱۴).

تا دهه‌ی ۱۹۸۰، رویکرد کاهش میزان آسیب‌پذیری و مقابله با بحران بر متنون نظری مدیریت بحران حاکم بود. از دهه‌ی ۱۹۸۰ و به خصوص ۱۹۹۰، محققان علوم اجتماعی به نقد رویکرد علوم طبیعی در مدیریت بحران پرداختند و معتقد بودند که آسیب‌پذیری یک خصوصیت اجتماعی نیز دارد و به خسارت جمعیتی و فیزیکی محدود نمی‌شود. از آن پس، رفتارهای تلاش‌هایی جهت تغییر در پارادایم غالب مدیریت بحران صورت گرفته است. از این رو، امروزه در سطح جهان، تغییرات چشمگیری در نگرش به مخاطرات دیده می‌شود؛ به طوری که دیدگاه غالب از تمرکز صرف بر کاهش آسیب‌پذیری به افزایش تاب‌آوری در مقابل سوانح تغییر پیدا کرده است(برايان و همکاران^۳:۲۰۰۴). چهارچوب طرح هیوگو در ۲۲ زانویه ۲۰۰۵ به تصویب استراتژی بین‌المللی کاهش بحران سازمان ملل متحد (UNISDR) رسید، که خود حرکتی مثبت در این زمینه محسوب می‌شود. از زمان تصویب این لایحه قانونی، هدف اصلی برنامه‌ریزی برای مخاطره و کاهش خطر بحران، علاوه بر کاهش آسیب‌پذیری به نحوی بارز به سمت تمرکز روی ایجاد تاب‌آوری در جوامع گرایش پیدا کرده است(مايونگا^۴:۲۰۰۷). برنامه‌ریزی تاب‌آوری شهری نیازمند تصمیم سیاست‌گذاران و مسئولان دستگاه‌های مدیریت شهر در مورد اولویت‌بندی و اختصاص منابع به محله‌ها و جمعیت‌های خطرپذیر است. تمرکز بر تاب‌آوری محله با اقدامات بازاریابی پایدار در ارتقای ظرفیت تاب‌آوری محلی و منطقه‌ای در برابر بحران‌ها و حوادث تأکید دارد(کنتوكوستا و مالک^۵:۲۰۱۸، ۲۷۳:۲۰۱۸).

کلان‌شهر تبریز به دلیل موقعیت قرارگیری بر روی کمربند کوه‌های آلب- هیمالیا در طول تاریخ همواره بستر وقوع زلزله‌های ویرانگر بوده است و در اثر آن خسارات شدیدی در ابعاد مادی و انسانی متقبل شده است.

شهر تبریز به عنوان مرکز اقتصادی و جمعیتی منطقه شمال غرب کشور می‌باشد که به عنوان مادرشهر منطقه‌ای در سال‌های اخیر رشد و گسترش زیادی را تجربه کرده است، به طوری که جمعیت آن از حدود ۲۸۹۹۶ نفر در سال ۱۳۳۵ به ۱۵۵۸۶۹۳ در سال ۱۳۹۵ نفر رسیده است. به عبارتی در ۶۰ سال اخیر نزدیک به یک میلیون و سیصد هزار نفر به جمعیت این شهر افزوده شده است. همراه با افزایش جمعیت، مساحت شهر از ۱۷.۷ کیلومترمربع در سال ۱۳۳۵ به بیش از ۲۵۰ کیلومترمربع در سال ۱۳۹۵ رسیده است. اهمیت مسئله زمانی بیشتر می‌شود که بدانیم بخش عمده‌ای از توسعه فیزیکی این شهر در مجاورت و حتی منطبق بر گسل شمال شهر تبریز - به عنوان خطناک‌ترین گسل منطقه - صورت گرفته است. پس لازم است برنامه‌های مناسب برای ارتقای تاب‌آوری و کاهش آسیب‌پذیری آن اتخاذ گردد. بخش مهمی از این برنامه‌ها به مدیریت و برنامه‌ریزی شهری برمی‌گردد. مؤلفه‌های اثرپذیر از برنامه‌ریزی شهری نظیر برنامه‌ریزی کاربری اراضی و توزیع خدمات و زیرساخت‌ها، اگر به درستی اجرا گردند می‌تواند در کاهش اثرات بلایا نقش مهمی ایفا کنند و به عنوان بخشی از چرخه مدیریت بحران در نظر گرفته شود.

تفاوت‌های فضایی و مکانی در متغیرهای کاربری اراضی در بین مناطق و نواحی شهری موجب تفاوت در تاب‌آوری کالبدی شهرها و مناطق می‌شود. بافت‌های مختلف شهری که در دوره‌های مختلف تاریخی شکل گرفته‌اند با اختصاصات خاص خود شرایط متفاوتی را از نظر تاب‌آوری پدیدار می‌سازد و بنابراین برنامه و راهبرد مناسب خود را می‌طلبند. با عنایت به موارد

¹ jha et al

² Leon and March

³ O'Brien et al

⁴ Mayunga

⁵ Kontokosta and Malik

مذکور پژوهش در صدد بررسی وضعیت مناطق شهر تبریز از نظر تاب آوری می‌باشد و اینکه وضعیت مناطق مختلف نسبت به یکدیگر چگونه می‌باشد تا نتایج آن راهنمای تصمیم‌گیری مناسب و متناسب باشد.

پژوهش‌های مختلفی در خصوص سنچش تاب آوری انجام شده است که از جمله آن می‌توان به کارهای پیشتازانه کاتر^۶ و همکاران (۲۰۱۰)، در زمینه طراحی معیارها و شاخص‌های تاب آوری در برابر بلایای طبیعی اشاره کرد که هدف اصلی آن‌ها تدوین و طراحی شاخص‌های تاب آوری مخاطرات برای آزمودن یا تعیین معیار شرایط تاب آوری جوامع است. کاتر و همکارانش در این مطالعه شاخص‌های منتخب خود را در ابعاد اجتماعی، اقتصادی نهادی، زیرساختی و سرمایه جامعه بررسی کردند. آن و بریانت (۲۰۱۰)، تاب آوری شهرها و نقش فضاهای باز در تاب آوری در برابر زمین‌لرزه را مطرح نموده و بر نقش فضاهای باز در تاب آوری در برابر زلزله را مطرح نموده و بر نقش برنامه‌ریزی شهری و برنامه باز توانی در بازسازی تاب آور تأکید کرده‌اند.

رضایی (۱۳۸۹) در رساله دکتری خود در دانشگاه تربیت مدرس به تبیین تاب آوری اجتماعات شهری به منظور کاهش اثرات سوانح طبیعی (زلزله در کلان‌شهر تهران پرداخت. نتیجه مطالعه حاضر نشان داد که بین تاب آوری موجود در محلات نمونه و سطح تاب آوری آن‌ها در ابعاد اقتصادی، اجتماعی، نهادی و کالبدی – محیطی رابطه معناداری وجود دارد و با تغییر هریک از آن‌ها، میران تاب آوری خانوارها نیز تغییر می‌یابد. فرزاد بهتانش (۱۳۹۳)، در رساله دکتری تحت عنوان "ارزیابی و تحلیل مؤلفه‌های تاب آوری شهر تبریز" با استفاده از مؤلفه‌های مختلف و از طریق پرسشنامه، تاب آوری شهر تبریز را مورد بررسی قرار داده است. نتایج نشانگر این است که شهر تبریز از نظر تاب آوری در وضعیت کاملاً مطلوب قرار ندارد و با این وجود بعد اجتماعی فرهنگی بالاترین رتبه تاب آوری را در شهر تبریز به خود اختصاص داده است.

اخیراً مطالعات تاب آوری شهرها در تلفیق با تکنیک‌های آینده‌پژوهی همراه شده است که از آن جمله می‌توان به مطالعه امانپور و همکاران (۱۳۹۸) با عنوان "تدوین سناریوها و ارائه راهبردهای مؤثر در تاب آوری اجتماعی آینده (مطالعه موردنی: کلان‌شهر اهواز)" اشاره کرد.

ریبرو و گونزالس (۲۰۱۹)، در مقاله‌ای با عنوان "تاب آوری شهری: چارچوبی مفهومی"^۷ به مروری بر موارد برجسته ادبیات علمی و فنی در مورد تاب آوری شهری، تعاریف، ابعاد، زمینه‌های کاربردی، ویژگی‌ها و چالش‌ها و فرصت‌های آن پرداخته‌اند. آن‌ها دریافت‌هایند که کمبود ابزار و روش در مورد ارزیابی تاب آوری وجود دارد که یک چالش و فرصت اصلی برای توسعه مطالعات جامع آینده در مورد تاب آوری شهری را فراهم می‌کند.

شریفی (۲۰۱۹)^۸ فرم شهری تاب آور: مروری بر ادبیات خیابان‌ها و شبکه‌های خیابانی^۹ بر خیابان‌ها، به عنوان عناصر اصلی تشکیل‌دهنده شکل شهری متمرکز شده است. یک بررسی از مباحث نظری و شواهد تجربی در مورد چگونگی طراحی و پیکربندی خیابان‌های شهری و شبکه‌های خیابانی که می‌تواند به تاب آوری شهری کمک کند. به‌طور کلی، نتایج حاصله بینشی در مورد خواص فیزیکی موردنیاز برای طراحی خیابان‌ها و شبکه‌های خیابانی تاب آور ارائه می‌دهد.

مبانی نظری تاب آوری

مفهوم "تاب آوری" به‌طور گسترده موردنیازی قرار گرفته است. اولین بار توسط بوم‌شناس کانادایی (هولینگ ۱۹۷۳،^۹) پیشنهاد شد. مفهوم "تاب آوری" غالباً به عنوان خاستگاه تئوری تاب آوری مدرن ذکر می‌شود (مرورو و همکاران، ۲۰۱۶).

مفهوم تاب آوری برخواسته از سیستم‌های اکولوژیکی یا زیست محیطی است (ابونصر ۱۳۱۰:۲۰۱۸). هولینگ (۱۹۷۳) به عنوان اولین فردی که به تعریف تاب آوری از منظر اکولوژیکی پرداخته است، بر این عقیده است که تاب آوری «ماندگاری روابط

⁶ Cutter

⁷ Urban resilience: A conceptual framework

⁸ Resilient urban forms: A review of literature on streets and street networks

⁹ Holling

10- Abunnasr

درون یک سیستم و همچنین توانایی این سیستم‌ها در جذب تغییرات مربوط به متغیرهای حالتی، متغیرهای محرک و پارامترها است در حالی که همچنان مقاوم است».

در حقیقت می‌توان تئوری تابآوری را به صورت سیستمی تجسم کرد که توسط زیست شناسان برای توضیح دینامیک غیرخطی سیستم‌های انطباقی پیچیده به کاربرده شده است (واکر و سالت ۲۰۰۶، ۱۱). دینامیک غیرخطی به ویژگی‌های غیرقابل‌پیش‌بینی و ناپیوسته‌ی سیستم‌های اجتماعی - زیست‌محیطی اشاره دارد که در آن تأثیرات بازخورد شانس در درون سیستم نامشخص است (شافلر ۲۰۱۱، ۱۲). از نظر واکر^{۱۳} و همکارانش (۲۰۰۶) تئوری تابآوری با تشخیص سه ویژگی مهم در جهان به سیستم‌های انطباقی پیچیده می‌نگرد: ۱. انسان به عنوان بخشی از سیستم‌های طبیعی-انسانی، به این معنی که ما بخشی از سیستم‌های اجتماعی- زیست‌محیطی هستیم؛ ۲. سیستم‌های اجتماعی- زیست‌محیطی سیستم‌های انطباقی پیچیده هستند؛ و ۳. تابآوری پایداری این سیستم‌ها را تعیین می‌کند.

در کل بنا بر نظر رفیعیان و همکارانش (۱۳۹۰) بعد از تعریف هولینگ^{۱۴} (۱۹۷۳) از تابآوری در زمینه اکولوژیکی، ادگر^{۱۵} (۲۰۰۰) در نظام‌های اجتماعی، کارپنتر^{۱۶} (۲۰۰۱) در نظام‌های انسانی محیطی، برکیس^{۱۷} (۲۰۰۳) در نظام‌های اجتماعی - اکولوژیکی، برونو^{۱۸} (۲۰۰۳) در مدیریت سوانح کوتاه مدت و تیمرمن^{۱۹} (۱۹۸۱) در پدیده‌های بلندمدت، مانند تغییرات اقلیمی، تعاریف خود را ارائه نمودند.

تابآوری در برنامه‌ریزی شهری در دهه ۱۹۹۰ ظاهر شد. بر اساس تحقیقات بوم‌شناسی و جامعه‌شناسی مرتبط با برنامه‌ریزی شهری، شروع به کشف چگونگی ایجاد "اجتماعی تاب آور" در زمینه برنامه‌ریزی و توسعه شهری، به عنوان گام مقدماتی در تفکر نظری و اکتشاف عملیاتی، کرد (Du et al, 2020).

تابآوری شهری

مطالعات مربوط به تابآوری شهری از سال ۲۰۰۰ با پرداختن به دو سؤال اصلی اینکه "شهر تاب آور چیست؟" و "چگونه می‌توان شهر تاب آور را برنامه‌ریزی کرد و ساخت؟" آغاز شد (Du et al, 2020).

می‌توان تابآوری شهری را بنا بر نظر آگودلوروو^{۲۰} و همکارانش (۲۰۱۲) این چنین تعریف نمود: «توانایی و ایستادگی شهر و یا سیستم شهری در برابر استرس‌ها و شوک‌های وارد شده». کاپوتو^{۲۱} (۲۰۱۳) نیز در رابطه با محیط‌های انسان ساخت، شهرهای تاب آور را شهرهایی می‌داند که در شرایط پیچیده و بغرنج و غیرقابل‌پیش‌بینی می‌توانند به صورت پایدار عمل کرده و در برابر مشکلات مقاوم باشند.

شورای بین‌المللی طرح‌های زیست‌محیطی^{۲۲} محلی بر این عقیده است که «شهرها سیستم‌های بسیار پیچیده و به هم وابسته با خواص فیزیکی، سازمانی، اجتماعی، و اقتصادی هستند. تابآوری شهری توانایی سیستم‌های شهری به منظور مقابله با سطوح مشخصی از فشار است» (شورای بین‌المللی طرح‌های زیست‌محیطی ۲۰۱۱، ۲۳).

11- Walker and Salt

12- Schaffler

13- Walker

14- Holling

15- Adger

16- Carpenter

17- Berkes

18- Bruneau

19- Timmerman

20- Agudelo-Vero

21-Caputo

22- International Council for Local Environmental Initiatives

23- ICLEI

این سازمان یک اتحادیه بین‌المللی متشكل از بیش از ۱۲۰۰ شهر و اتحادیه‌های آن‌ها در سراسر جهان و همچنین سازمان‌های دولتی محلی، ملی و منطقه‌ای است که به توسعه پایدار متعهد شده‌اند (شورای بین‌المللی طرح‌های زیست‌محیطی، ۲۰۱۵). این شورا تاب آوری شهری را این‌گونه بیان می‌کند:

- شهر تاب آور، شهری است که از بهبود تاب آوری در ادارات، زیرساخت‌ها، و زندگی اجتماعی و اقتصادی خود حمایت می‌کند؛
- این شهرها میزان آسیب‌پذیری را کم کرده و در برابر تغییرات اقتصادی، اجتماعی و محیطی عکس‌العملی خلاقانه ارائه می‌دهند تا پایداری بلندمدت را افزایش دهند؛
- فعالیت‌های شهر تاب آور نسبت به شرایط و منشأهای محلی منحصر به فرد و مشخص حساس است. تلاش‌هایی که در جهت جلوگیری از ایجاد بحران و یا وقوع فاجعه در یک بخش صورت می‌گیرد باید به گونه‌ای طراحی شود که مقاومت و تاب آوری جامعه و توسعه پایدار در چند ناحیه را افزایش دهد؛
- شهرهای تاب آور به عنوان مفهومی کامل از تاب آوری شهری و دستور کار سیاسی در زمینه‌های حاکمیت شهری، زیرساختی، مالی، طراحی، توسعه اقتصادی و اجتماعی، مدیریت منابع و مدیریت محیطی تعریف می‌شود. با توجه به این تعاریف، تاب آوری شهری ضرورتاً به معنی بازگشت سیستم به حالت اولیه خود نیست بلکه به معنی تغییر وضعیت به حالتی جدید برای تطبیق با تغییرات و ادامه حیات خود نیز می‌باشد (Folke ۲۴ و همکاران، ۲۰۱۰). به طور کلی برنامه ریزان و سیاست‌گذاران در تلاش‌اند تا با فرآیندهای مختلف که بر شهر تأثیر می‌گذارد همگام شوند؛ در هر صورت، این مسائل عموماً مربوط به تغییرات فضایی (فسرده‌گی شهری)، اقتصادی بحران اقتصادی، و محیطی (گرم شدن کره زمین) است که می‌تواند هزینه‌های اجتماعی زیادی را نیز در پی داشته باشد (Kerr و Menadue ۲۰۱۰، ۲۵).

جدول (۱). ابعاد تاب آوری شهری

بعد	تعريف	شاخص‌ها
اقتصادی	در فعالیت‌های اقتصادی تاب آوری به نیاز سیستم‌های اقتصادی به سیستم‌های پشتیبان برای حفظ پایداری و تعادل مناسب بعد از وقوع سوانح و بحران‌ها می‌پردازد	• ظرفیت توانایی جبران خسارت • توانایی برگشت به شرایط قبلی و درآمدی مناسب • شدت خسارات
	در بعد کالبدی علاوه بر تأمین سرپناه برای آسیب دیدگان بعد از وقوع بحران، به اصولی برای طراحی کالبد قبل از وقوع بحران و مخاطره پرداخته می‌شود.	• وضعیت فضای باز • کاربری‌های ناسازگار • زمین (بستر) • مقاومت ساختمان • دسترسی • مالکیت • تراکم
	کالبدی - محیطی	• بستر نهادی • روابط نهادی • عملکرد نهادی
نهادی	حاوی ویژگی‌های مرتبط با تقلیل خطر، برنامه‌ریزی و تجربه سوانح قبلی است	• سرمایه اجتماعی • آگاهی • مهارت • نگرش
	این بعد حاصل تفاوت ظرفیت اجتماعی در بین جوامع است. به عبارت دیگر ظرفیت گروه‌های اجتماعی و جوامع در بازیابی خود پس از وقوع بحران و پا پاسخ مثبت دادن به سوانح است.	• سرمایه اجتماعی • آگاهی • مهارت • نگرش
	منبع: رضایی، ۱۳۸۹	

فرآیند تحلیل سلسله مراتبی

فرآیند تحلیل سلسله مراتبی روشی است منعطف ، ساده و قوی که برای تصمیم‌گیری در شرایطی که معیارهای تصمیم‌گیری متضاد، انتخاب بین گزینه‌ها را با مشکل مواجه می‌سازد، مورداستفاده قرار می‌گیرد. این روش در سال ۱۹۸۰ توسط توماس ال ساعتی ۲۶ پیشنهاد گردید و تاکنون کاربردهای متعددی در علوم مختلف داشته است (زبردست ۱۳۸۰: ۱۳). یک روش اساسی جهت آزمون روش AHP روش مقایسه‌ای دوتایی می‌باشد. این روش از پیچیدگی مفهومی تصمیم‌گیری تا حد قابل ملاحظه‌ای می‌کاهد، زیرا تنها دو مؤلفه در یک زمان بررسی می‌گردد. این روش دارای سه گام اصلی می‌باشد: ۱- تشکیل ماتریس مقایسه زوجی ۲- محاسبه وزن معیارها ۳- تخمین نسبت توافق.

روش انجام پژوهش

پژوهش حاضر به لحاظ ماهیت توصیفی- تحلیلی و از نظر هدف کاربردی می‌باشد. از روش استنادی برای تدوین چارچوب نظری پژوهش و نیز جمع‌آوری داده‌ها در قالب بررسی طرح‌های شهری و استفاده از پایگاه داده‌های مکانی این طرح‌ها استفاده شده است.

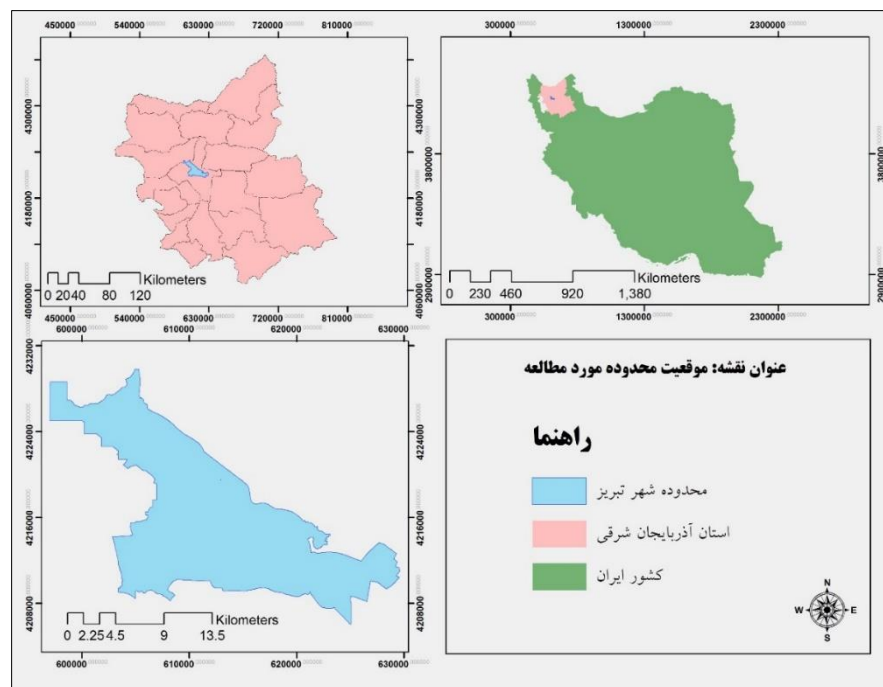
ابزار اصلی تحلیل بهره‌گیری از روش‌های آمار فضایی (تحلیل فاصله و مساحت) و روش‌های تصمیم‌گیری چند شاخه می‌باشد که برای حصول نتایج مطمئن‌تر از چندین روش (تاپسیس، ویکور، کوپراس) و تلفیق نتایج آن‌ها (مدل کپ لند) استفاده شده است؛

فرآیند کلی تحقیق را می‌توان به گام‌های زیر تجزیه کرد؛

۱. مطالعه مبانی نظری و تدوین شاخص‌های مؤثر بر تاب‌آوری.
۲. وزن دهنی و اولویت‌بندی شاخص‌های منتخب (با استفاده از روش فرآیند تحلیل سلسله مراتبی).
۳. بررسی مناطق بر اساس شاخص‌های منتخب تاب‌آوری (مدل تاپسیس، ویکور، کوپراس).
۴. تلفیق و ادغام نتایج حاصل از مدل‌ها و ارائه نتیجه نهایی (با استفاده از مدل کپ لند).

موقعیت منطقه مورد مطالعه

تبریز مرکز استان آذربایجان شرقی است. در ۴۶ درجه و ۲۵ دقیقه طول شرقی و ۳۸ درجه و دو دقیقه عرض شمالی از نصف‌النهار گرینویچ واقع شده است، ارتفاع آن از سطح دریا ۱۳۴۰ متر می‌باشد . با وسعتی حدود ۱۱۸۰۰ کیلومتر در قلمرو میانی خطه آذربایجان و در قسمت شرقی شمال دریاچه ارومیه و ۶۱۹ کیلومتری غرب تهران قرار دارد و در ۱۵۰ کیلومتری جنوب جلفا ، مرز ایران و جمهوری آذربایجان قرار گرفته است (احمدی، ۱۳۹۰: ۷۰) به نقل از احمدزاد و همکاران، (۱۳۹۴: ۱۰). تقسیمات شهری شهر تبریز به ۱۰ منطقه پس از بررسی و تصویب در وزارت کشور مورخ ۱۳۸۸/۵/۱۲ به استانداری ارسال و استانداری آذربایجان شرقی مورخ ۱۳۸۸/۵/۲۵ طرح مذکور را جهت اجرا به شهرداری ابلاغ کرد. منطقه ۱ با مساحتی حدود ۲۴۵۰۰ هکتار و جمعیتی معادل ۲۱۲۲.۶ نفر را در خود جای داده است(اهم ضوابط و مقررات طرح تفصیلی تبریز، ۱۳۹۲: ۱). شکل (۱).



شکل(۱). موقعیت محدوده مورد مطالعه

نتایج و بحث

شاخص‌های مؤثر بر تاب آوری شهری

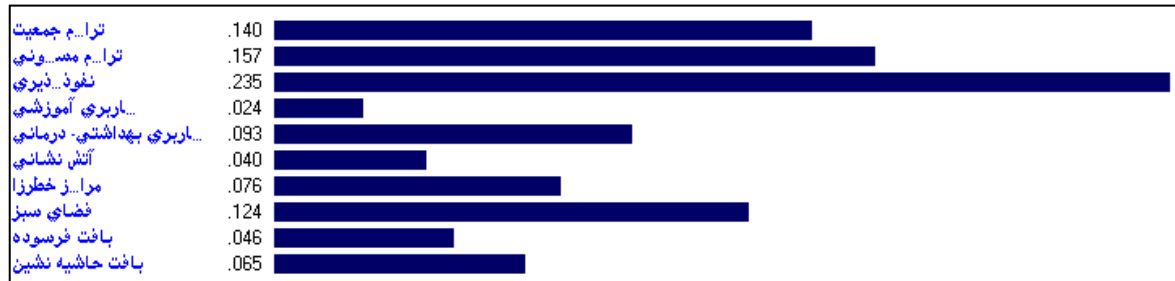
بر اساس ادبیات موجود، شاخص‌های مؤثر بر تاب آوری شهری به دو دسته عوامل درونی و بیرونی تقسیم می‌شود. عوامل درونی ساختمان عواملی هستند که اثر آسیب‌پذیری به خود ساختمان برمی‌گردد که شامل اسکلت ساختمان، نوع مصالح ساختمان، دسترسی به زیرساخت‌های آب، برق و ... می‌باشد (حبیبی و همکاران، ۱۳۹۲). عوامل بیرونی ساختمان عواملی هستند که مستقیماً اثر زلزله به خود ساختمان برآیند، اما در تاب آوری در برابر زلزله تأثیرگذارند. تراکم جمعیتی، تراکم مسکونی، شاخص نفوذپذیری فاصله از کاربری‌های امدادی (مانند آتش‌نشانی)، فاصله از مراکز حساس و خطرنا (مانند پمپ بنزین) و همچنین فاصله از پارک و فضاهای سبز از جمله عوامل بیرونی تأثیرگذار در زلزله می‌باشند (احتنزاد و همکاران، ۱۳۹۰؛ امینی و همکاران، ۱۳۹۱). در پژوهش حاضر به دلیل تأکید بر مؤلفه کاربری اراضی در تاب آوری شهری، از عوامل بیرونی ساختمان برای ارزیابی تاب آوری استفاده شده است جدول (۲).

جدول (۲). شاخص‌های مورد استفاده در پژوهش

ردیف	شاخص	روش محاسبه	جهت تأثیر بر تاب آوری
۱	تراکم جمعیتی	نسبت جمعیت منطقه به مساحت منطقه	منفی
۲	تراکم مسکونی	نسبت تعداد مسکن به مساحت منطقه	منفی
۳	نفوذپذیری بافت	نسبت مساحت شبکه معابر به مساحت منطقه	ثبت
۴	کاربری‌های آموزشی	نسبت مساحت کاربری‌های آموزشی به مساحت منطقه	ثبت
۵	کاربری بهداشتی - درمانی	نسبت مساحت کاربری بهداشتی درمانی به مساحت منطقه	ثبت
۶	کاربری فضای سبز	نسبت مساحت کاربری فضای سبز به مساحت منطقه	ثبت
۷	بافت فرسوده	نسبت مساحت بافت فرسوده به مساحت منطقه	منفی
۸	بافت حاشیه‌نشین	نسبت مساحت بافت حاشیه‌نشین به مساحت منطقه	منفی
۹	مراکز امدادی و آتش‌نشانی	میانگین فاصله مرکز محله از ایستگاه‌های آتش‌نشانی	منفی
۱۰	مراکز خطرنا	میانگین فاصله مرکز محله از مراکز خطرنا	ثبت

منبع: یافته‌های پژوهش، ۱۳۹۹

در مرحله دوم شاخص‌های منتخب بر اساس نظرات کارشناسان حوزه برنامه‌ریزی و مدیریت شهری و نیز مطالعات مرتبط، اولویت‌بندی شده و با استفاده از روش تحلیل سلسه مراتبی AHP²⁷، وزن هر یک محاسبه و استخراج شده است. بر اساس نتایج حاصل از مدل AHP معیار نفوذپذیری بافت بیشترین وزن را کسب کرده است. در رتبه‌های بعدی به ترتیب تراکم مسکونی، تراکم جمعیتی، درصد فضاهای سبز، کاربری بهداشتی- درمانی، فاصله از مراکز خطرزا، بافت حاشیه‌نشین، بافت فرسوده، فاصله از مراکز امدادی و آتش‌نشانی و در نهایت کاربری‌های آموزشی به ترتیب بیشترین تا کمترین امتیاز را کسب کرده‌اند شکل (۲).



شکل (۲). وزن شاخص‌ها (خروچی نرم‌افزار Expert Choice) منبع: یافته‌های پژوهش، ۱۳۹۹

در مرحله سوم وضعیت هر یک از مناطق بر اساس مدل‌های تصمیم‌گیری چند شاخصه²⁸ تاپسیس^{۲۹}، ویکور^{۳۰} و کوپراس^{۳۱} مورد تحلیل و بررسی قرار گرفته است. همچنین برای رتبه‌بندی نهایی از تلفیق نتایج سه مدل ذکور با استفاده از مدل کوب‌لند^{۳۲} بهره‌گیری شده است. اولین عامل مورد بررسی، تراکم جمعیتی می‌باشد. رابطه تراکم جمعیتی و تاب‌آوری را می‌توان معکوس دانست. بدین صورت که با افزایش تراکم جمعیتی میزان تاب‌آوری کاهش می‌یابد. بر اساس یافته‌های پژوهش جدول (۳)، بیشترین تراکم جمعیتی در شهر تبریز مربوط به منطقه ۱۰ و کمترین تراکم نیز متعلق به منطقه ۹ می‌باشد.

جدول (۲). تراکم جمعیتی مناطق شهر تبریز

منطقه	تراکم جمعیت
۱۰	۱۷۸.۸
۹	۲۸۰
۸	۷۵.۳
۷	۵۵.۹
۶	۱۵.۰۹
۵	۴۵.۳
۴	۱۲۴.۰۸
۳	۸۲.۳
۲	۹۴.۴
۱	۱۴۱.۸

منبع: یافته‌های پژوهش، ۱۳۹۹

شاخص بعدی مربوط به تراکم ساختمان می‌باشد. در خصوص این شاخص نیز رابطه معکوسی بین تاب‌آوری و تراکم ساختمانی برقرار است و با افزایش تراکم ساختمانی، تاب‌آوری شهر در برابر زلزله کاهش می‌یابد. بر اساس بررسی‌های به عمل آمده جدول (۴) بیشترین تراکم ساختمانی مربوط به منطقه ۵ و کمترین آن مربوط به منطقه ۹ می‌باشد.

جدول (۳). تراکم مسکونی مناطق شهر تبریز

منطقه	تراکم مسکونی
۱۰	۴۲۵.۲
۹	۱۰۰.۴
۸	۱۸۴.۷
۷	۵۳۷.۴
۶	۴۱۷.۷
۵	۶۴۵.۵
۴	۳۹۰.۰۱
۳	۳۷۳.۸
۲	۳۲۸.۲
۱	۳۷۴.۲

منبع: یافته‌های پژوهش، ۱۳۹۹

27- Analytic hierarchy process

28- MADM

29- Topsis

30- Vikor

31- Copras

32- Copeland

نفوذپذیری بر اساس نسبت مساحت شبکه معابر به مساحت کل منطقه محاسبه شده است. در خصوص شاخص نفوذپذیری، رابطه بین این شاخص و تاب آوری، رابطه‌ای مستقیم می‌باشد که با افزایش نفوذپذیری در بافت شهر، میزان تاب آوری نیز افزایش می‌یابد. بر اساس تحلیل‌های انجام شده، بیشترین نفوذپذیری مربوط به منطقه ۸ و کمترین آن مربوط به منطقه ۶ می‌باشد جدول (۵).

جدول (۴). نفوذپذیری مناطق شهر تبریز

منطقه	۱	۲	۳	۴	۵	۶	۷	۸	۹	۱۰
نفوذپذیری (%)	۱۴.۴	۱۵.۲	۷.۴	۸.۲	۶.۳	۵.۴	۸.۱	۲۴.۸	۸.۴	۱۱

منبع: یافته‌های پژوهش، ۱۳۹۹

کاربری‌های آموزشی می‌تواند در موقع بحران به عنوان مراکز پشتیبان در قالب پناهگاه و مراکز امدادی مورد استفاده قرار گیرد. از این رو وجود این کاربری‌ها در هر منطقه می‌تواند موجب ارتقای تاب آوری شود. بر اساس بررسی‌های به عمل آمده جدول (۶)، منطقه ۲ شهر تبریز بیشترین سهم کاربری آموزشی و منطقه ۱۰ کمترین سهم را دارد.

جدول (۵). سهم کاربری‌های آموزشی در مناطق شهر تبریز

منطقه	۱	۲	۳	۴	۵	۶	۷	۸	۹	۱۰
کاربری آموزشی (%)	۱۴.۴	۱۵.۲	۷.۴	۸.۲	۶.۳	۵.۴	۸.۱	۲۴.۸	۸.۴	۱۱

منبع: یافته‌های پژوهش، ۱۳۹۹

کاربری‌های بهداشتی - درمانی به عنوان کاربری حیاتی به ویژه در موقع بحرانی از دیگر شاخص‌های تاب آوری شهر می‌باشد. برای بررسی این موضوع در سطح مناطق شهر تبریز از نسبت مساحت این کاربری به مساحت منطقه استفاده شده است. بر اساس نتایج به دست آمده، منطقه ۱۰ بیشترین سهم کاربری بهداشتی درمانی و در مقابل منطقه ۹ کمترین سهم از این کاربری را دارد جدول (۷).

جدول (۶). سهم کاربری بهداشتی - درمانی در مناطق شهر تبریز

منطقه	۱	۲	۳	۴	۵	۶	۷	۸	۹	۱۰
کاربری بهداشتی - درمانی (%)	۰.۵۲	۰.۹۷	۰.۰۶	۰.۶۶	۰.۳۷	۰.۰۵	۰.۰۲	۰.۶۳	۰.۰۵	۱.۰۲

منبع: یافته‌های پژوهش، ۱۳۹۹

شاخص موردنظر دیگر، فضاهای سبز منطقه می‌باشد. وجود این کاربری باعث ارتقای تاب آوری شهری شده و در موقع بحران آسیب‌پذیری را کاهش می‌دهد. بر اساس بررسی‌های این پژوهش جدول (۸)، بیشترین سهم فضاهای سبز در منطقه ۲ و کمترین آن مربوط به منطقه ۸ می‌باشد.

جدول (۷). سهم کاربری فضای در مناطق شهر تبریز

منطقه	۱	۲	۳	۴	۵	۶	۷	۸	۹	۱۰
کاربری فضای سبز (%)	۷.۳۸	۹.۹۸	۳.۵۵	۲.۳۹	۲.۴۰	۱.۳۹	۳.۴۷	۰.۸۹	۳.۹۴	۲.۲۹

منبع: یافته‌های پژوهش، ۱۳۹۹

وجود بافت فرسوده به عنوان دیگر شاخص مؤثر در تاب آوری شهری مورد بررسی قرار گرفته است. بدین صورت که در صورت وجود بافت فرسوده در منطقه، به دلیل ویژگی‌های خاص این نوع بافت، تاب آوری منطقه در برایر زلزله کاهش می‌یابد و احتمال آسیب‌پذیری زیاد می‌شود. بر اساس بررسی‌های به عمل آمده جدول (۹) بیشترین سهم بافت فرسوده در منطقه ۴ و کمترین سهم آن در مناطق ۵.۷.۹ می‌باشد. به بیان دیگر این مناطق عاری از هرگونه بافت فرسوده هستند.

جدول(۸). سهم بافت فرسوده در مناطق شهر تبریز

منطقه	۱	۲	۳	۴	۵	۶	۷	۸	۹	۱۰
بافت فرسوده(%)	۱۳.۷	۵.۳۱	۸.۵۸	۴۵.۴	۲.۲۷	۰	۰.۴۱	۰	۰.۴۲	۱۰

منبع: یافته‌های پژوهش، ۱۳۹۹

دیگر شاخص مؤثر بر تابآوری وجود بافت حاشیه‌نشین (اسکان غیررسمی) در مناطق شهر می‌باشد. سکونتگاه‌های غیررسمی موجب کاهش تابآوری شهری شده و در موقع بحران، احتمال آسیب‌پذیری را زیاد می‌کنند. بر اساس بررسی‌های به عمل آمده بیشترین سهم بافت حاشیه‌نشین در منطقه ۱۰ و کمترین سهم آن در مناطق عوشه‌ها می‌باشد جدول (۱۰).

جدول(۹). سهم بافت حاشیه‌نشین مناطق شهر تبریز

منطقه	۱	۲	۳	۴	۵	۶	۷	۸	۹	۱۰
بافت حاشیه‌نشین(%)	۱۳.۳	۰.۵۷	۶.۷	۲.۵	۰.۶۵	۷.۲	۰	۰	۰.۲	۲۰.۲

منبع: یافته‌های پژوهش، ۱۳۹۹

شاخص تأثیرگذار بعدی که در این پژوهش مورد بررسی قرار گرفته است، فاصله از مراکز امدادی و آتش‌نشانی می‌باشد. برای تحلیل این شاخص از میانگین فاصله این مراکز تا مرکز محله ملاک عمل قرار گرفته است. بر این اساس بیشترین فاصله مربوطه به منطقه ۶ می‌باشد و منطقه ۸ کمترین فاصله را دارد جدول (۱۱).

جدول(۱۰). متوسط فاصله از مراکز امدادی و آتش‌نشانی در مناطق شهر تبریز

منطقه	۱	۲	۳	۴	۵	۶	۷	۸	۹	۱۰
فاصله از مراکز امدادی و آتش‌نشانی (km)	۵.۹	۶.۱	۶.۸	۹.۵	۱۳.۲	۹.۹	۶.۱	۵.۳	۱۰.۶	۶.۲

منبع: یافته‌های پژوهش، ۱۳۹۹

شاخص تأثیرگذار بعدی بر تابآوری، فاصله مناطق از مراکز خطرزا همچون پمپبنزین و ایستگاه‌های گاز است که در این پژوهش بر اساس متوسط فاصله آن‌ها از مرکز محله مورد محاسبه قرار گرفته است. رابطه بین این شاخص و تابآوری را می‌توان به صورت معکوس عنوان کرد به عبارت دیگر، هرچه فاصله از این مراکز بیشتر باشد، تابآوری افزایش می‌یابد و در موقع بحران، احتمال آسیب‌پذیری کاهش می‌یابد. بر اساس بررسی‌های به عمل آمده جدول (۱۲)، در بین مناطق شهر تبریز بیشترین فاصله از این مراکز مربوط به منطقه ۷ و کمترین فاصله مربوط به منطقه ۲ می‌باشد.

جدول(۱۱). متوسط فاصله از مراکز خطرزا در مناطق شهر تبریز

منطقه	۱	۲	۳	۴	۵	۶	۷	۸	۹	۱۰
فاصله از مراکز خطرزا(km)	۰.۱	۵	۵.۱	۷.۵	۹.۱	۹.۸	۷.۳	۴.۹	۹.۵	۶.۵

منبع: یافته‌های پژوهش، ۱۳۹۹

در مرحله بعدی با توجه به مقادیر کسب شده توسط هر منطقه در شاخص‌های ۱۰ گانه مورد بررسی و با استفاده از مدل‌های تصمیم‌گیری چند معیاره به رتبه‌بندی مناطق از نظر تابآوری پرداخته می‌شود؛

مدل تاپسیس

این مدل توسط هوانگ و یون^{۳۳} در سال ۱۹۸۱ پیشنهاد گردید و یکی از مدل‌های تصمیم‌گیری چند شاخصه می‌باشد که m گزینه به وسیله k شاخص مورد ارزیابی قرار می‌گیرد. اساس این تکنیک بر این مفهوم استوار است که گزینه انتخابی باید

کمترین فاصله را با راه حل ایدئال منفی (بدترین حالت ممکن) داشته باشد. فرض بر این است که مطلوبیت هر شاخص، به طور یکنواخت افزایشی یا کاهشی است. اجرای این تکیک مستلزم طی مراحل زیر است:

۱. تشکیل ماتریس داده‌ها بر اساس رابطه (۱):

(ii) رابطه (۱)

iii) $m \times n$

۲) تشکیل ماتریس استاندارد از رابطه (۲):

(i) رابطه (۲)

$$\text{ii)} \frac{a_{ij}}{\sqrt{\sum_{k=1}^m a_{kj}}} = r_{ij}$$

۳) تعیین وزن هر یک از شاخص‌ها بر اساس (۳):

(i) رابطه (۳)

$$\text{ii)} \sum_{i=1}^n w_i = 1$$

در این راستا شاخص‌های دارای اهمیت بیشتر از وزن بیشتری برخوردارند.

تعیین فاصله i امین آلتراستیو از آلتراستیو ایدئال (بالاترین عملکرد در هر شاخص) که آن را با A^* نشان می‌دهند، با استفاده از رابطه (۴):

رابطه (۴)

$$A = \{(\max v_{ij} | j \in J), (\min v_{ij} | j \in J^*)\}$$

$$A^* = \{v_1, v_2, v_3, \dots, v_n\}$$

۲. تعیین فاصله i امین آلتراستیو حداقل (پایین‌ترین عملکرد هر شاخص) که آن را با A^- نشان می‌دهند بر اساس رابطه (۵):

رابطه (۵)

$$A = \{(\min v_{ij} | j \in J), (\max v_{ij} | j \in J^-)\}$$

$$A^- = \{v_1, v_2, v_3, \dots, v_n\}$$

۳. تعیین معیار فاصله‌ای برای آلتراستیو ایدئال S^* و آلتراستیو حداقل S^- بر اساس رابطه (۶):

رابطه (۶)

$$Si^* = \sqrt{\sum_{j=1}^n (v_{ij} - v_{j^*})^2}$$

$$Si^- = \sqrt{\sum_{j=1}^n (v_{ij} - v_{j^-})^2}$$

۴. تعیین ضریبی که برابر است با فاصله آلتراستیو حداقل (S^-) تقسیم بر مجموع فاصله آلتراستیو حداقل و آلتراستیو حداقل بر حسب رابطه (۷):

رابطه (۷)

$$cli = \frac{Si^-}{Si^* + Si^-}$$

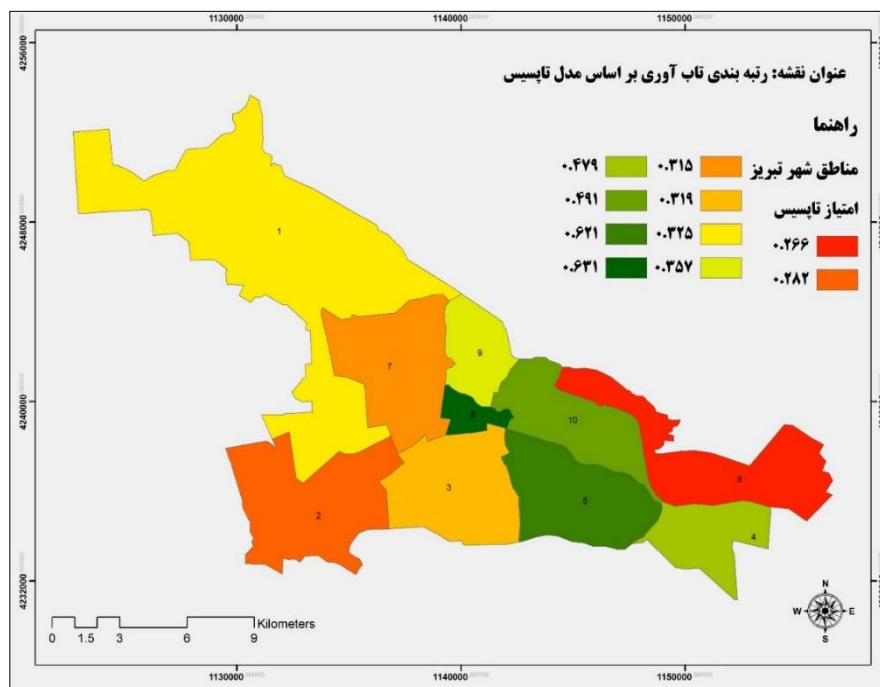
در نهایت گزینه‌ها بر اساس cli رتبه‌بندی می‌گردد (ملکی و دیگران، ۱۳۹۲: ۱۳۱).

بر اساس محاسبات انجام شده طبق مراحل مدل تاپسیس که در بخش پیشین ارائه شد، و نتایج حاصله، منطقه ۸ بیشترین تاب آوری را دارد و همچنین منطقه ۵ کمترین تاب آوری را دارد جدول (۱۳).

جدول (۱۲). نتایج رتبه‌بندی با استفاده از مدل تاپسیس

منطقه	نمره تاپسیس	رتبه
۱	۰.۴۹۱	۳
۲	۰.۶۲۱	۲
۳	۰.۳۱۹	۷
۴	۰.۳۱۵	۸
۵	۰.۲۶۶	۱۰
۶	۰.۳۲۵	۶
۷	۰.۲۸۲	۹
۸	۰.۶۳۱	۱
۹	۰.۴۷۹	۴
۱۰	۰.۳۵۷	۵

منبع: یافته‌های پژوهش، ۱۳۹۹



شکل (۳). رتبه‌بندی مناطق بر اساس مدل تاپسیس

مدل ویکور

- تشکیل ماتریس تصمیم‌گیری
- تشکیل ماتریس نرمال بر اساس رابطه (۸)، رابطه (۸)

$$r_{ij} = \frac{x_{ij}}{\sqrt{\sum_{l=1}^m x_{lj}^2}}$$

- محاسبه ایدئال مثبت (f_i^+) و منفی (f_i^-)، رابطه (۹)، رابطه (۹)

$$f_i^+ = \max f_{ij}; \quad f_i^- = \min f_{ij}$$

۴- محاسبه شاخص مطلوبیت (S_j) و شاخص نارضایتی (R_j) برای هر گزینه بر اساس رابطه (۱۰)؛
رابطه (۱۰)

$$S_j = \sum_{i=1}^n w_i \cdot \frac{f_i^* - f_{ij}}{f_i^* - f_i}; \quad R_j = \max \left[w_i \cdot \frac{f_i^* - f_{ij}}{f_i^* - f_i} \right]$$

۵- محاسبه شاخص ویکور که همان امتیاز نهایی هر گزینه است و کمتر بودن آن مطلوب تر است، بر اساس رابطه (۱۱)؛ (حاتمی نژاد و همکاران، ۱۳۹۶: ۷)؛
رابطه (۱۱)

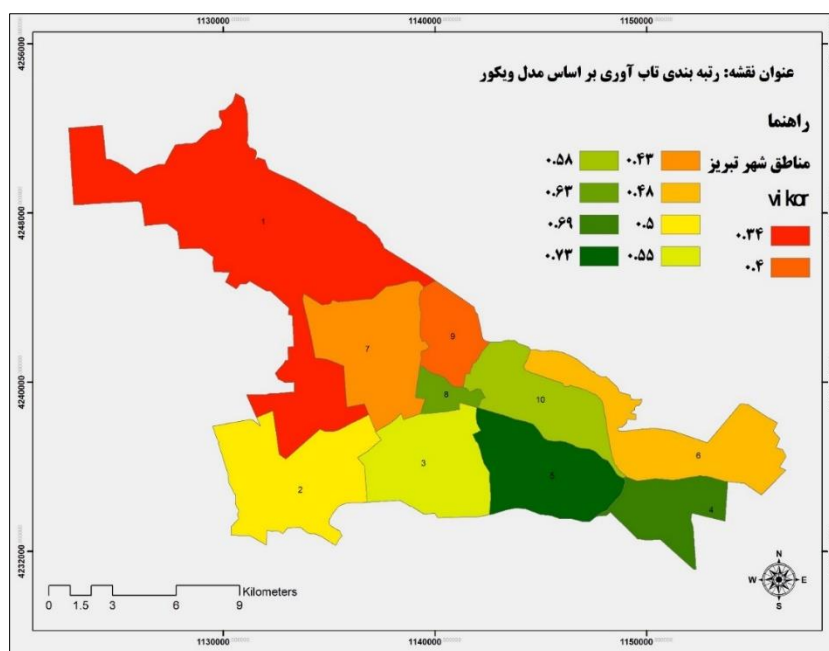
$$Q_j = v \cdot \frac{S_j - S^*}{S^- - S^*} + (1 - v) \cdot \frac{R_j - R^*}{R^- - R^*}$$

با توجه به انجام محاسبات ذکر شده در بالا و نتایج حاصله، منطقه ۲ شهر تبریز بیشترین تاب آوری و منطقه ۶ کمترین تاب آوری را دارد جدول (۱۴).

جدول (۱۳). نتایج رتبه بندی با استفاده از مدل ویکور

منطقه	نموده ویکور	رتبه
۱	۰.۵۸	۴
۲	۰.۷۳	۱
۳	۰.۵۵	۵
۴	۰.۴۳	۸
۵	۰.۴۸	۷
۶	۰.۳۴	۱۰
۷	۰.۵۰	۶
۸	۰.۶۳	۳
۹	۰.۶۹	۲
۱۰	۰.۴۰	۹

منبع: یافته های پژوهش، ۱۳۹۹



شکل (۴). رتبه بندی مناطق بر اساس مدل ویکور

مدل کوپراس

روش کوپراس یکی از روش‌های تصمیم‌گیری است و برای اولویت‌بندی گزینه‌های مختلف به کار می‌رود و برای این کار از وزن معیارها استفاده می‌کند. اولین بار این روش را برای تعیین اولویت و درجه مؤثر بودن گزینه‌ها توسعه دادن (فرجی سبکبار و همکاران، ۱۳۹۳). روش کوپراس در امور مختلف برنامه‌ریزی، برآوردهای مالی، حسابداری و همچنین جغرافیا و ارزیابی جنبه‌های مختلف پایداری شهری استفاده می‌گردد و یکی از ابزارهای قدرتمند در تصمیم‌گیری به شمار می‌آید (ویتنکینی و زاوادسکاس، ۲۰۰۷؛ ۱۴۹:۲۰۰۷).

- ۱- تشکیل ماتریس تصمیم؛
- ۲- تشکیل ماتریس وزن دار بر اساس رابطه (۱۲)؛

$$d_{ij} = \frac{q_i}{\sum_{j=1}^n x_{ij}} x_{ij} \quad \text{رابطه (۱۲)}$$

که در آن q_i وزن هر معیار، x_{ij} مقدار هر گزینه و d_{ij} محاسبه ارزش معیار برای هر گزینه است.

۳- سپس معیارهای مثبت و منفی جدا شده و مشخص می‌شوند. منظور از معیارهای مثبت معیارهایی است که با افزایش مقدار آن‌ها، میزان مطلوبیتشان افزایش می‌یابد اما معیارهای منفی، با افزایش مقدار آن‌ها میزان مطلوبیتشان کاهش می‌یابد. پس از مشخص کردن معیارهای مثبت و منفی، باید ارزش نهایی معیارهای مثبت و منفی را مشخص کرد. با توجه به رابطه (۱۳)؛

$$S_j^+ = \sum_{z_i=+} d_{ij} \quad \text{رابطه (۱۳)}$$

$$S_j^- = \sum_{z_i=-} d_{ij}$$

۴- محاسبه ارزش نهایی گزینه‌ها؛ رابطه (۱۴) (حدادی و شیرمحمدی، ۱۳۹۶:۷۲).

$$Q_j = S_j^+ + \frac{S_{\min} \sum_{j=1}^n S_j^-}{S_j^- \sum_{j=1}^n S_{\min}} = S_j^+ + \frac{\sum_{i=1}^n S_j^-}{S_j^- \sum_{i=1}^n S_j^-} \quad \text{رابطه (۱۴)}$$

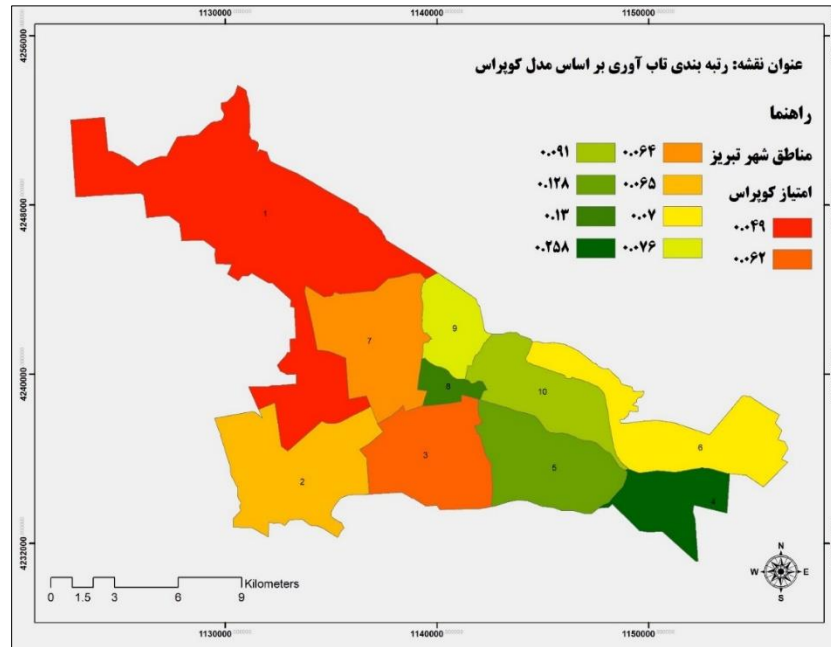
بعد از انجام محاسبات مربوط به مراحل مذکور، بر اساس نتایج رتبه‌بندی با استفاده از روش کوپراس، منطقه ۹ بیشترین تابآوری را دارد و در مقابل منطقه ۶ کمترین تابآوری را دارد است جدول (۱۵).

جدول (۱۴). نتایج رتبه‌بندی با استفاده از مدل کوپراس

منطقه	نمره کوپراس	رتبه
۱	۰.۰۹۱	۴
۲	۰.۱۲۸	۳
۳	۰.۰۶۲	۹
۴	۰.۰۶۴	۸
۵	۰.۰۷۰	۶

۱۰	۰.۰۴۹	۶
۷	۰.۰۶۵	۷
۲	۰.۱۳۰	۸
۱	۰.۲۵۸	۹
۵	۰.۰۷۶	۱۰

منبع: یافته‌های پژوهش، ۱۳۹۹



شکل(۵). رتبه‌بندی مناطق بر اساس مدل کپراس

تللیق نتایج مدل‌ها و رتبه‌بندی نهایی

با توجه به تفاوت‌های موجود در نتایج رتبه‌بندی با استفاده از سه روش تاپسیس، ویکور و کپراس، برای تلفیق نتایج و رسیدن به رتبه‌بندی نهایی تاب آوری مناطق شهر تبریز، از روش کپ لند بهره‌گیری می‌شود.

جدول(۱۵). رتبه‌بندی مناطق بر اساس مدل‌های مختلف

کپراس	ویکور	تابسیس	منطقه	منطقه	منطقه	منطقه	منطقه	منطقه	منطقه
رتبه	رتبه	رتبه	۱	۲	۳	۴	۵	۶	۷
۴	۴	۳	منطقه ۱	منطقه ۲	منطقه ۳	منطقه ۴	منطقه ۵	منطقه ۶	منطقه ۷
۳	۱	۲	منطقه ۲	منطقه ۳	منطقه ۴	منطقه ۵	منطقه ۶	منطقه ۷	منطقه ۸
۹	۵	۷	منطقه ۳	منطقه ۴	منطقه ۵	منطقه ۶	منطقه ۷	منطقه ۸	منطقه ۹
۸	۸	۱۰	منطقه ۴	منطقه ۵	منطقه ۶	منطقه ۷	منطقه ۸	منطقه ۹	منطقه ۱۰
۶	۷	۶	منطقه ۵	منطقه ۶	منطقه ۷	منطقه ۸	منطقه ۹	منطقه ۱۰	منطقه ۱
۷	۶	۹	منطقه ۶	منطقه ۷	منطقه ۸	منطقه ۹	منطقه ۱۰	منطقه ۱	منطقه ۲
۲	۳	۱	منطقه ۷	منطقه ۸	منطقه ۹	منطقه ۱۰	منطقه ۱	منطقه ۲	منطقه ۳
۱	۲	۴	منطقه ۸	منطقه ۹	منطقه ۱۰	منطقه ۱	منطقه ۲	منطقه ۳	منطقه ۴
۵	۹	۵	منطقه ۹	منطقه ۱۰	منطقه ۱	منطقه ۲	منطقه ۳	منطقه ۴	منطقه ۵

منبع: یافته‌های پژوهش، ۱۳۹۹

در مدل کپ لند، برای به دست آوردن رتبه‌های مربوط به گزینه‌ها در ابتدا اقدام به محاسبه بردّها و باخت‌ها برای هر گزینه می‌شود. مفهوم برد برای هر گزینه ارجح بودن آن نسبت به دیگر گزینه‌ها می‌باشد. بهیان دیگر در مثال حاضر اگر گزینه‌ای از میان ۳ روش تاپسیس، ویکور و کوپراس حداقل در دو روش نسبت به گزینه دیگر نمره بالاتر کسب کرده باشد، برد محسوب می‌شود و اگر حداقل در ۲ روش نسبت به روش دیگر نمره کمتری کسب نماید، باخت محسوب می‌شود.

جدول(۱۶). مقایسه زوجی مدل کپ لند

$\sum C$	۱۰ منطقه	۹ منطقه	۸ منطقه	۷ منطقه	۶ منطقه	۵ منطقه	۴ منطقه	۳ منطقه	۲ منطقه	۱ منطقه	
۶	M	X	X	M	M	M	M	M	X		منطقه ۱
۸	M	M	X	M	M	M	M	M		M	منطقه ۲
۴	X	X	X	M	M	M	M		X	X	منطقه ۳
	X	X	X	X	M	X		M	X	X	منطقه ۴
۲	X	X	X	X	M		M	X	X	X	منطقه ۵
.	X	X	X	X		X	X	M	X	X	منطقه ۶
۳	X	X	X		M	M	M	M	X	X	منطقه ۷
۸	M	X		M	M	M	M	M	M	M	منطقه ۸
۸	M		M	M	M	M	M	M	X	M	منطقه ۹
		X	X	M	M	M	M	M	X	X	منطقه ۱۰
۴	۱	۱	۶	۹	۷	۸	۵	۱	۳	$\sum R$	

منبع: یافته‌های پژوهش، ۱۳۹۹

رتبه نهایی در مدل کپ لند از تفاضل تعداد بردّها $\sum C$ و تعداد باخت‌ها $\sum R$ حاصل می‌شود (سلطان حسینی و همکاران، ۱۳۹۶: ۳۰). رابطه (۱۵).

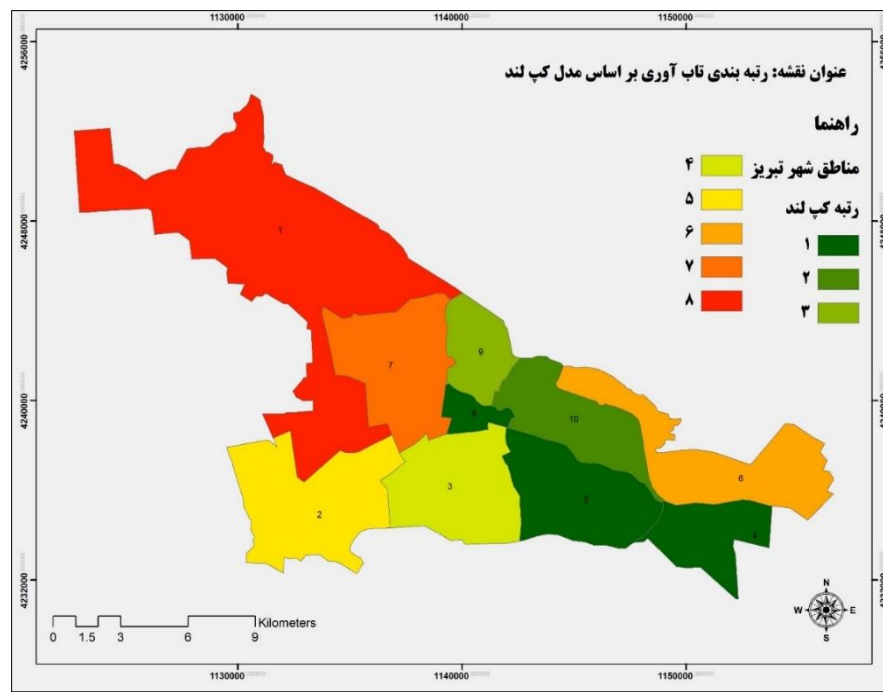
$$A_i = \sum C - \sum R \quad \text{رابطه (۱۵)}$$

جدول(۱۷). محاسبه رتبه‌ها در کپ لند

رتبه	A_i	$\sum R$	$\sum C$	منطقه
۲	۳	۳	۶	۱
۱	۷	۱	۸	۲
۴	-۱	۵	۴	۳
۷	-۷	۸	۱	۴
۶	-۶	۷	۲	۵
۸	-۹	۹	۰	۶
۵	-۳	۶	۳	۷
۱	۷	۱	۸	۸
۱	۷	۱	۸	۹
۳	۱	۴	۵	۱۰

منبع: یافته‌های پژوهش، ۱۳۹۹

بر اساس نتایج مدل کپ لند مندرج در جدول (۱۸)، مناطق ۲، ۸ و ۹ به صورت مشترک رتبه اول را از نظر تابآوری کسب نموده‌اند و در رتبه‌های بعدی به ترتیب، منطقه ۱، منطقه ۱۰، منطقه ۳، منطقه ۷، منطقه ۵، منطقه ۴ و در نهایت منطقه ۶ قرار گرفته است جدول (۱۷).



شکل(۶). رتبه بندی مناطق بر اساس مدل کپ لند

نتیجه‌گیری

توسعه شهرها و شهرنشینی این سکونتگاهها را در معرض انواع مختلفی از مخاطرات قرار داده است که روزبه‌روز بر پیچیدگی آن‌ها افزوده می‌شود. بر این اساس هرگونه برنامه‌ریزی برای شهرها می‌بایست با درنظر گرفتن این مهم صورت گیرد. برنامه‌ریزی شهری ریسک مبنای ۳۵ می‌تواند به شناسایی امن‌ترین مناطق برای اولویت‌بندی الگوهای توسعه در روند شهرنشینی کمک کند. یکی از مفاهیم مرتبه با برنامه‌ریزی شهری ریسم مبنای در شهر "تاب‌آوری" است که بر افزایش توان سیستم در مواجهه با بلایا تأکید دارد.

تاب‌آوری به عنوان شاخص کلی توان مقاومت در برابر بلایا و بازگشت جوامع به حالت عادی تعریف می‌شود که در ابعاد مختلف اقتصادی، اجتماعی و کالبدی تعریف و بررسی می‌شود. تاب‌آوری کالبدی به عنوان نتیجه عملکرد عوامل کالبدی همچون متغیرهای سازه‌ای و ساختمانی و متغیرهای مربوط به برنامه‌ریزی کاربری اراضی شناخته می‌شود. در حوزه عمل برنامه‌ریزی شهری بیشتر بعد کالبدی تاب‌آوری مورد بررسی و تحلیل قرار می‌گیرد تا از رهگذر آن بتوان راهبردهای مناسب برای توسعه شهر و تدبیر عملیاتی اتخاذ نمود.

از زمان تصویب چارچوب قانونی طرح هیوگو در راهبرد بین‌المللی کاهش سوانح سازمان ملل متحد (UNISDR)، هدف و فرآیند برنامه‌ریزی برای تقلیل خطرهای ناشی از سوانح، جدا از کاهش آسیب‌پذیری، به نحوی بارزی به افزایش و بهبود تاب‌آوری در جوامع معطوف گردید. در این میان تاب‌آوری به عنوان ۱) میزان تخریب و زیانی که یک سیستم قادر است جذب کند بدون آنکه از حالت تعادل خارج شود ۲) میزان توانایی یک سیستم برای خودسازماندهی در شرایط مختلف و ۳) میزان و توانایی سیستم در ایجاد و افزایش ظرفیت یادگیری و تقویت سازگاری با شرایط تعریف می‌شود. بر این اساس سؤال اصلی پژوهش حاضر این بود که وضعیت تاب‌آوری کالبدی مناطق شهر تبریز چگونه است؟ در این راستا از فرآیند تحلیل سلسله مراتبی AHP و روش‌های تصمیم‌گیری چندمعیاره MADM بهره‌گیری شد.

بر اساس نتایج حاصل از مدل AHP معیار نفوذ‌پذیری بافت بیشترین وزن را کسب کرده است. در رتبه‌های بعدی به ترتیب تراکم مسکونی، تراکم جمعیتی، درصد فضاهای سبز، کاربری بهداشتی- درمانی، فاصله از مراکز خطرزا، بافت

HASHIEH-NESHIN، بافت فرسوده، فاصله از مراکز امدادی و آتشنشانی و در نهایت کاربری‌های آموزشی به ترتیب حائز بیشترین تا کمترین امتیاز شده‌اند.

بر اساس نتایج حاصل از روش تاپسیس منطقه ۸ رتبه اول را کسب کرده است. نتایج مدل ویکور نشانگر رتبه اول منطقه ۲ و نتایج مدل کوپراس رتبه اول را از نظر تابآوری برای منطقه ۹ نشان می‌دهد. برای تلفیق نتایج و رسیدن به رتبه‌بندی نهایی از مدل کپ لند بهره‌گیری شد. نتایج حاصل از مدل کپ لند نشانگر این است که مناطق ۸ و ۹ به صورت مشترک رتبه اول را از نظر تابآوری کسب نموده‌اند و در رتبه‌های بعدی به ترتیب، منطقه ۱، منطقه ۱۰، منطقه ۳، منطقه ۷، منطقه ۵، منطقه ۴ و در نهایت منطقه ۶ قرار گرفته است.

ادبیات موجود در حیطه تابآوری شهرها را سیستم‌های بهم پیوسته‌ای می‌داند که در آن ابعاد اقتصادی، اجتماعی و کالبدی و ... در ارتباط با یکدیگر عمل می‌کنند و عملکرد هر بخش از سیستم بر بخش‌های دیگر و در نهایت بر کل سیستم اثر می‌گذارد. بر این اساس نمی‌توان تنها اصلاح بخشی از سیستم را برای اصلاح کل سیستم کافی دانست و لازم است برنامه‌ریزی برای شهر در همه ابعاد آن صورت گیرد. اصلاح وضعیت کالبدی شهرها تنها در سایه بهبود شرایط اقتصادی ساکنین و توانمندسازی آن‌ها امکان‌پذیر خواهد بود. کما اینکه این مهم در گرو ارتقای دانش، بینش و مهارت شهروندان است و برای تحقق همه این‌ها باید سیستم نهادی و مدیریتی میل به اقدام و تغییر شرایط داشته باشد.

آنچه امروز در شهرهای کشورهای در حال توسعه از جمله کشور ایران در حال رخ دادن است، رشد بخش غیررسمی در ابعاد اقتصادی و کالبدی- فضایی آن که در قالب سکونتگاه‌های غیررسمی رخ می‌نمایاند. این سکونتگاه‌ها نه الزاماً در حاشیه و اطراف شهرها که گاه‌ها در درون بافت رسمی شهر رشد می‌یابند. طبقات درآمدی پایین به‌اجبار ساکن مناطقی می‌شوند که از لحاظ کالبدی- فضایی فاقد استانداردهای لازم هستند و این پدیده در یک توالی بازتولید بیشتر نیز می‌شود.

از این رو هرگونه راه حل نهایی برای ارتقای تابآوری شهرها باید جای خود را در دل برنامه‌های اقتصادی اجتماعی توأم با برنامه‌های کالبدی- فضایی پیدا کند که در غیر این صورت نمی‌توان رسیدن به سطح قابل قبولی از تابآوری را برای شهرها انتظار داشت.

ملاحظات اخلاقی

پیروی از اصول اخلاق پژوهش

نویسنده‌گان اصول اخلاقی را در انجام و انتشار این پژوهش علمی رعایت نموده‌اند و این موضوع مورد تأیید همه آن‌هاست.

مشارکت نوبنی‌گان

جمع‌آوری داده‌ها: تهیه گزارش پژوهش؛ تحلیل داده‌ها: یاسر نظریان

مشارکت نوبنی‌گان در مقاله مستخرج از پایان‌نامه تقریباً به شکل زیر باشد:

یاسر نظریان: تهیه و آماده‌سازی نمونه‌ها، انجام آزمایش و گردآوری داده‌ها، انجام محاسبات، تجزیه و تحلیل آماری داده‌ها،

تحلیل و تفسیر اطلاعات و نتایج، تهیه پیش‌نویس مقاله

آمنه حق زاد: استاد راهنمای پایان‌نامه، طراحی پژوهش، نظارت بر مراحل انجام پژوهش، بررسی و کنترل نتایج، اصلاح،

بازبینی و نهایی‌سازی مقاله

لیلا ابراهیمی: استاد مشاور پایان‌نامه، مشارکت در طراحی پژوهش، نظارت بر پژوهش، مطالعه و بازبینی مقاله

کیا بزرگمهر: استاد مشاور پایان‌نامه، مشارکت در طراحی پژوهش، نظارت بر پژوهش، مطالعه و بازبینی مقاله

تعارض منافع

بنا بر اظهار نوبنی‌گان این مقاله تعارض منافع ندارد.

حامی مالی

مقاله حاضر با حمایت مالی معاونت پژوهشی دانشگاه آزاد اسلامی، چالوس انجام شد.

منابع

احذرثاد، محسن؛ محمدی ترکمانی، حجت؛ خوش روی، قهرمان(۱۳۹۴). مدل سازی آسیب‌پذیری اجتماعی شهرها در برابر زلزله با استفاده از فرایند تحلیل سلسله مراتبی و نرم افزار GIS. فصلنامه برنامه‌ریزی توسعه شهری و منطقه‌ای. ۱(۲): ۳۲-۱.

<https://doi.org/10.22054/urdp.2020.11551>

امانپور، سعید؛ ملکی، سعید؛ صفائی پور، مسعود؛ امیری فهیانی، محمدرضا(۱۳۹۸). تدوین سناریوها و ارائه راهبردهای مؤثر در تاب آوری اجتماعی آینده (مطالعه موردی: کلان شهر اهواز). جغرافیای اجتماعی شهری. ۶(۲): ۲۵۵-۲۷۳.

<https://doi.org/10.22103/JUSG.2019.2000>

حاتمی نژاد، حسین؛ زارعی، مهلا؛ حاجیلو، مهدی؛ تابعی، نادر؛ ولی زاده، زینب(۱۳۹۶). سطح‌بندی مناطق شهر مشهد بر اساس میزان برخورداری از خدمات شهری با استفاده از تکنیک ویکور. فصلنامه علمی-پژوهشی فضای جغرافیایی. ۷(۵۷): ۱۷-۱.

<http://geographical-space.iau-ahar.ac.ir/article-1-554-fa.html>

حدادی، فرهاد؛ شیرمحمدی، حمید(۱۳۹۶). ارزیابی و اولویت‌بندی تصمیم گیران شهری در یکپارچه‌سازی سیستم حمل و نقل عمومی با استفاده از روش کوپراس (مطالعه موردی: شهر ارومیه). نشریه پژوهش و برنامه‌ریزی شهری. ۸(۳۰): ۸۲-۶۵.

<https://dorl.net/dor/20.1001.1.22285229.1396.8.30.5.1>

رضایی، محمدرضا (۱۳۸۹)، تبیین تاب آوری اجتماعات شهری به منظور کاهش اثرات سوانح طبیعی (زلزله) مطالعه موردی: کلان شهر تهران، رساله دکتری، دانشگاه تربیت مدرس.

زبردست، اسفندیار، (۱۳۸۰) کاربرد فرآیند تحلیل سلسله مراتبی در برنامه‌ریزی شهری و منطقه‌ای، نشریه هنرهای زیبا. ۱۰(۱): ۲۱-۲۱.

<https://dorl.net/dor/20.1001.1.22286020.1389.2.41.7.4> .۱۳

سلطان حسینی، محمد؛ رضوی، سید محمدجواد؛ سلیمی، مهدی(۱۳۹۶). شناخت و اولویت‌بندی موائع خصوصی‌سازی صنعت فوتبال در ایران با رویکرد آنالیز چندمعیاره و کپ لند. مطالعات مدیریت ورزشی. ۴۱(۱): ۳۶-۱۷.

<https://doi.org/10.22089/smrj.2017.913>

شهرداری تبریز(۱۳۹۲). اهم ضوابط و مقررات طرح تفصیلی تبریز.

فرجی سبکبار، حسنعلی؛ رضوی، محمدرضا؛ مرشدی، بهنام؛ رosta، حسین(۱۳۹۳). سطح‌بندی فضایی محورهای گردشگری استان فارس بر مبنای خدمات و تسهیلات گردشگری. مجله پژوهش‌های جغرافیای انسانی. ۴۶(۳): ۵۸۶-۵۶۱.

<https://dorl.net/dor/20.1001.1.20086296.1393.46.3.6.5>

ملکی سعید؛ مودت‌الیاس(۱۳۹۱)، ارزیابی طیف آسیب‌پذیری لرزه‌ای در شهرها بر اساس سناریوهای شدت مختلف با استفاده از مدل‌های GIS و TOPSIS، MD (مطالعه موردی: شهر یزد)، نشریه جغرافیا و مخاطرات محیطی. ۵(۵): ۱۴۲-۱۲۷.

<https://doi.org/10.22067/geo.v2i1.21220>

Abunnasr, Y. (2013). Climate Change Adaptation: A Green Infrastructure Planning Framework for Resilient Urban Regions. PhD Thesis, Massachusetts University, England.

Adger, W. N. (2000). Social and Ecological Resilience: Are They Related? Progress in Human Geography, 24 (3): 347 – 364. <http://dx.doi.org/10.1191/030913200701540465>

Agudelo-Vero, C.; Leduc, W.; Mels, A. R. and Rijnaarts, H. (2012). Harvesting Urban Resources towards more Resilient Cities. Resources, Conservation and Recycling, (64): 3 - 12. DOI: [10.1016/j.resconrec.2012.01.014](https://doi.org/10.1016/j.resconrec.2012.01.014)

Berkes, F.; Colding, J. and Folke, C. (2003). Navigating Social-Ecological Systems: Building Resilience for Complexity and Change. Cambridge: Cambridge University Press.

<https://doi.org/10.1017/CBO9780511541957>

- Bruneau, M.; Chang, S. E.; Eguchi, R. T.; Lee, G. C.; O'Rourke, T. D; Reinhorn, A. M.; Shinozuka, M.; Tierney, K.; Wallace, W. A. and Winterfeldt, D. (2003). A Framework to Quantitatively Assess and Enhance the Seismic Resilience of Communities. *Earthquake Spectra*, (19): 733-752. <http://dx.doi.org/10.1193/1.1623497>
- Caputo, S. (2013). Urban Resilience: A Theoretical and Empirical Investigation. PhD Thesis, Coventry University, England.
- Carpenter, S. R. Walker, B.; Andries, J. M. and Abel, N. (2001). From Metaphor to Measurement: Resilience of What to What? *Ecosystems*, (4): 765 - 781. <https://doi.org/10.1007/s10021-001-0045-9>
- Du, M., Zhang, X., Wang, Y., Tao, L., Li, H (2020). An operationalizing model for measuring urban resilience on land expansion. *Habitat International*. (102): 102-206. <https://doi.org/10.1016/j.habitatint.2020.102206>
- Folke, C.; Carpenter, S. R.; Walker, B.; Scheffer, M.; Chapin, T. and Rockström, J. (2010). Resilience Thinking: Integrating Resilience, Adaptability and Transformability. *Ecology and Society*, 15 (4). 20p. <http://dx.doi.org/10.5751/ES-03610-150420>
- Gomes Ribeiro, P J; Jardim Gonçalves, L A (2019). Urban resilience: A conceptual framework. *Sustainable Cities and Society*. (50). <https://doi.org/10.1016/j.scs.2019.101625>
- Holling, C. (1973). Resilience and Stability of Ecological Systems. *Annual Review of Ecology and Systematics*, (4): 1– 23. <https://doi.org/10.1146/annurev.es.04.110173.000245>
- ICLEI. (2011), Briefing Sheet on ‘Towards urban resilience’. Available at http://archive.iclei.org/fileadmin/user_upload/documents/Global/News_Items/Image_Documents_web_news_11/Briefing_Sheet_Urban_Resilience_20110616.pdf. Retrieved September 8, 2016.
- ICLEI. (2015), Resilient City Agenda. Available at http://resilientcities2015.iclei.org/fileadmin/RC2015/files/Sendai_Conference/ICLEI_RCAgenda_201502.pdf. Retrieved September 8.
- Jha, K., Miner, W. Geddes, S. (2012). Building urban resilience: principles, tools, and practice, The world Bank, 155 p. <https://hdl.handle.net/10986/13109>
- Kerr, L. and Menadue, J. (2010). Social Change and Social Sustainability: Challenges for Planning Profession. Congress 2010: Planning Pathways, Christchurch. <http://dx.doi.org/10.13140/RG.2.1.2201.4882>
- Kontokosta, E., and Malik, A., (2018), The Resilience to Emergencies and Disasters Index: Applying Big Data to Benchmark and Validate Neighborhood Resilience Capacity, *Sustainable Cities and Society*, (36): 272-285. <https://doi.org/10.1016/j.scs.2017.10.025>
- León, J., March, A. (2014). Urban morphology as a tool for supporting tsunami rapid resilience: A case study of Talcahuano, Chile, *Habitat International*, (43): 250–262. <https://doi.org/10.1016/j.habitatint.2014.04.006>
- Mayunga, J. S. (2007). Understanding and applying the concept of community disaster resilience: A capital-based approach. A Draft Working Paper Prepared for the Summer Academy for Social Vulnerability and Resilience Building, Munich. 1-16 p. <https://www.semanticscholar.org/paper/Understanding-and-Applying-the-Concept-of-Community-Mayunga/03d3985c3f6edb80aea0cc2f15a2c805d970fca9>
- Meerow, S., Newell, J. P., & Stults, M. (2016). Defining urban resilience: A review. *Landscape and Urban Planning*, (147): 38–49. <https://doi.org/10.1016/j.landurbplan.2015.11.011>
- O'Brien, K; Sygna, L; Haugen, J. E. (2004). Vulnerable or Resilient? A Multi-Scale Assessment of Climate Impacts and Vulnerability in Norway. *Climatic change*, 64 (1-2), 193-225. <https://link.springer.com/article/10.1023/B:CLIM.0000024668.70143.80>

- Schäffler, A. (2011). Enhancing Resilience between People and Nature in Urban Landscapes. A MSc. Thesis. University of Stellenbosch, South Africa. <http://hdl.handle.net/10019.1/6473>
- Sharifi, A (2019). Resilient urban forms: A review of literature on streets and street networks. *Building and Environment*. (147): 171-187. <https://doi.org/10.1016/j.buildenv.2018.09.040>
- Timmerman, P. (1981). Vulnerability, Resilience and the Collapse of Society: A Review of Models and Possible Climatic Applications. Institute for Environmental Studies, Canada: University of Toronto. <http://dx.doi.org/10.1016/j.ecolecon.2012.05.008>
- Viteikiene, Milda. and Zavadskas, Edmundas Kazimieras, (2007), Evaluating the sustainability of Vilnius city residential areas, *Journal of Civil Engineering and Management*, 8 (2): 149-155. <http://dx.doi.org/10.3846/13923730.2007.9636431>
- Walker, B. and Salt, D. (2006). Resilience Thinking: Sustaining Ecosystems and People in a Changing World. Island Press, Washington DC.
- Zhou, H. et al. (2009). Resilience to natural hazards: A geographic perspective, "Nat Hazards, DOI:10.1007/s11069- 009- 9407-y, 2009. <http://dx.doi.org/10.1007/s11069-009-9407-y>.